



## Atomik olarak eşit miktarda demir ve krom içeren Fe-Cr ikili alaşımın borlanması

### Boronizing of equiatomic Fe-Cr binary alloy

Yücel GENÇER<sup>1\*</sup>, Mehmet TARAKÇI<sup>1</sup>

<sup>1</sup>Malzeme Bilimi ve Mühendisliği Bölümü, Mühendislik Fakültesi, Gebze Teknik Üniversitesi, Kocaeli, Türkiye.

gencer@gtu.edu.tr, mtarakci@gtu.edu.tr

Geliş Tarihi/Received: 26.10.2016, Kabul Tarihi/Accepted: 09.02.2017

\* Yazışan yazar/Corresponding author

doi: 10.5505/pajes.2017.82956

Özel Sayı Makalesi/Special Issue Article

#### Öz

*Bu çalışmada, kontrollü atmosferde eşit miktarda demir ve krom içeren sentetik Fe-Cr ikili alaşımı hazırlanmıştır. Hazırlanan bu Fe-Cr numuneler kutu borma yöntemi ile 800 °C, 900 °C ve 1000 °C'de 6 sa. süre ile kaplanmıştır. Oluşturulan kaplamanın kimyasal ve faz içeriği, mikroyapısı, kaplama kalınlığının sertliği; X-ray kırınımı, optik mikroskop, taramalı elektron mikroskopu, mikrosertlik cihazı ile karakterize edilmiştir. Her üç sıcaklıkta da kaplama tabakasının altlık malzemeye mükemmel yaptığı ve borür tabakanın Fe<sub>2</sub>B ve CrB fazlarından oluşan tespit edilmiştir. Borür tabaka düz bir morfoloji de olup sıcaklığın artmasıyla CrB fazının ağırlıklı bulunduğu iğnemsi çökeltilerden oluşan bir geçiş bölgesi oluşmuş ve sıcaklıklı artışına bağlı olarak Bu çökeltilerin miktarı artmıştır. Borlama sıcaklığı ile yoğun borür kaplama kalınlığı artmıştır. Borür tabaka sertliği ise sıcaklıktan bağımsız olarak 2500 ile 3500 HV arasında bulunmuştur.*

**Anahtar kelimeler:** Fe-Cr alaşımı, Kutu borma, Demir borür, Krom borür, Sertlik

#### Abstract

*In this study, equiatomic Fe and Cr binary alloy was prepared under controlled atmosphere. The Fe-Cr alloy was coated with pack boriding method for the duration of 6 h at 800 °C, 900 °C and 1000 °C. Chemical and phase content, microstructure, hardness of the formed boride layer were studied by using XRD, SEM-EDS, microhardness measurement device. Perfect adhesion of coating to substrate and formation of compact boride layer composed of Fe<sub>2</sub>B and CrB phases on the substrate were observed. The increase of temperature resulted in formation of transition zone with CrB precipitates whose amount increased with temperature. The treatment temperature resulted in increasing of main boride coating thickness. Boride layer hardness was changed between 2500 HV and 3500 HV independent from boronizing temperature.*

**Keywords:** Fe-Cr alloy, Pack boriding, Iron boride, Chromium boride, Hardness

## 1 Giriş

Borlama, metal ve alaşımlarının mekanik zorlama, korozyon gibi servis ömrünü etkileyen dış etkenlere karşı malzemenin direncini ve servis ömrünü arturan termo-kimyasal bir yüzey modifikasyon prosesidir [1]. Günümüzde daha çok çeliklerin yüzey özelliklerini geliştirmek amaçlı uygulanan yöntem olan borma sayesinde metal yüzeyinde FeB ve/veya Fe<sub>2</sub>B tabakaları sentezlenebilmektedir [2]-[5]. Bor kaynağından bor atomunun serbest hale geçiş, altlık malzemeye bor elementinin yayınımı ve meydana gelen reaksiyonlar sonucunda borür bileşiklerinin oluşumu ile ilgili mekanizma literatürde yer bulmuştur [6]. Yüzeyde borür bileşiklerin oluşturduğu kalınlığı, sertliği, aşınma ve korozyon direnci, gözenekli yapısı, yüzey pürüzlülüğü proses süresine, sıcaklığına, bor kaynağına ve altlık malzemenin kimyasal kompozisyonuna bağlıdır [2]-[8]. Bu değişkenlerden altlık malzemenin kompozisyonu kontrol edilmesi proses değişkenlerinden bağımsız olduğundan, çelik içerisindeki alaşım elementlerinin oluşturulan borür tabakasına etkisinin anlaşılması önemlidir. Çelik içerisinde bulunan Mo, Si, Ni, C, Ti, V ve Cr gibi alaşım elementlerinin borma sonunda elde edilen kaplamaya etkisi özellikle son yıllarda araştırma konusu olmuştur [3]-[5],[9]-[13]. Bu kapsamda çelik için en önemli alaşım elementlerinden olan kromun borma üzerine yahn etkisinin belirlenmesi için saf demir içerisine atomik olarak %5, 10, 15, 25 ve 30 oranlarında krom ilave edilerek Fe-Cr ikili alaşımları bormaştir [12]-[15]. Yapılan bu çalışmalarda Fe-Cr içerisindeki krom miktarındaki artıya bağlı olarak borür tabaka kalınlığının düşüğü, malzeme

yüzeyinde oluşan borür tabakanın dış kısmı FeB fazından, iç kısmı ise Fe<sub>2</sub>B fazından olduğu ve buna ek olarak borür tabakası içerisinde ve kaplama-altlık ara yüzeyinde (Fe,Cr)B yapısında iğnemsi yapıların varlığı raporlanmıştır [12]-[14]. Bu çalışmada ise literatürde rapor edilmeyen atomik olarak eşit miktarda Fe ve Cr içeren Fe-Cr ikili alaşımı sentetik olarak üretilmiş, farklı sıcaklıklarda aynı sürede yapılan kutu borma tekniği ile kaplanarak karakterize edilmiş ve bu alaşımın borma davranışını ortaya çıkarılmıştır.

## 2 Deneysel çalışma

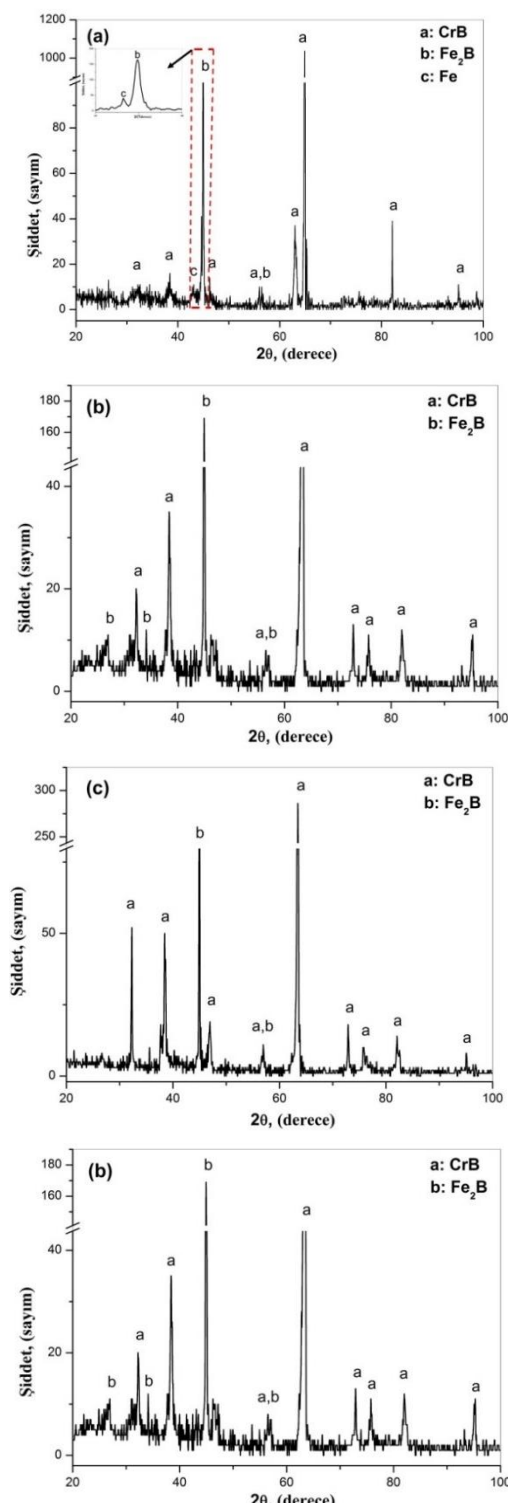
Atomik olarak eşit miktarda alaşım oluşturmak üzere %99.97 saflikta demir ve %99.8 saflikta krom metal parçaları kontrollü atmosfer altında ark ergitme firmanızda ergitilmiştir. Boyu 50 mm, genişliği ve kalınlığı 10 mm olan Fe-Cr ikili alaşımı hazırlanmıştır. Bu alaşım, dilimlenerek bir kenarı 10 mm ve kalınlığı 5 mm olan kare kesitli borma numuneleri hazırlanmıştır. Numunelerin kare yüzeyleri 80-1200 grit zımparalar ile aşındırılmıştır. Daha sonra numunelerin aşındırılmış yüzeyleri elmas pasta (3 µm) ile parlatılmıştır. Fe-Cr alaşımı alüminia pota içerisindeki ticari Ekabor II tozuna gömülü ve potanın üst kısmına oksit giderici toz konularak potanın kapağı sıkıca kapatılmıştır. Fe-Cr alaşımını içeren pota elektrik direnç prensibiyle ısıtılan kutu fırına yerleştirilerek, 800±5 °C'de 6 sa. süreyle borma işlemi yapılmıştır. Hazırlan diğer Fe-Cr alaşımları ise benzer şekilde aynı süre boyunca 900±5 °C ve 1000±5 °C'de bormaştir. X-ışınları kırınımı cihazı (Bruker D8) ile Cu-Kα ışını kullanılarak borma borma numunelerin faz incelmesi yüzeyden yapılmıştır. Ayrıca,

1000 °C'de borlanan numunenin borür tabakasının iç bölgesinde oluşması muhtemel farklı fazların tespiti için bu numunenin yüzeyindeki borür tabakanın yaklaşık olarak yarısı aşındırılarak aynı şartlarda yine yüzeyden XRD analizi yapılmıştır. Borlanan numunelerin kare yüzeyi iki eşit dikdörtgen olacak şekilde hassas kesici ile dilimlenmiştir. Borür tabakayı ortaya çıkaracak şekilde dilimlenmiş numuneler kalıba alınmış, Fe-Cr altlıkların hazırlanmasına benzer şekilde aşındırılmış ve elmas pasta (3 µm) ile parlatılmıştır. Numunelerin kesitten incelemesi öncelikle Nikon marka optik mikroskop (OM) altında yapılmıştır. Kaplamaların mikrosertlik değerleri optik mikroskoba bağlı Mitutoyo mikrosertlik cihazı ile 30 g yükün 10 s süreyle uygulanmasıyla Vicker sertlik izleri oluşturulmuştur. Kesitleri ortaya çıkarılmış borür kaplı Fe-Cr numuneler, altın kaplandıktan sonra SEM (Philips XL-30 FEG SEM) ile mikroyapıları incelenmiş ve kaplama kalınlığı ölçülmüştür. Ayrıca, bu numunelerin borür tabakasında oluşturulmuş 5 Vickers izinin boyutları SEM altında ölçülerek ortalaması alınıp Fe-Cr合金 yüzeyindeki borür tabakanın mikrosertlik değerleri tespit edilmiştir. Borür tabaka kimyasal bileşimi SEM'e bağlı elektron dağılım spektrometresi (EDS) ile tespit edilmiştir.

### 3 Deneyel sonuçlar ve tartışma

Şekil 1'de Fe-Cr合金ının 800 °C, 900 °C ve 1000 °C sıcaklıklarda yapılan birlama işlemi sonrasında yüzeyden alınan XRD sonuçları verilmiştir. Her üç sıcaklıkta yapılan birlama işlemi sonrasında borür tabakanın yüksek oranda CrB ve Fe<sub>2</sub>B fazlarından oluşan bir yapı mevcuttur. Bu iki fazın ilave olarak 800 °C'de borlanan numunenin XRD spektrumunda Fe fazına ait bir pikin olduğu görülmektedir (Şekil 1a). Fe fazının ait bu pikin altlık malzemeden kaynaklandığı düşünülmüştür. Zira bu sıcaklıkta oluşan borür tabaka yeterince kalın olmadığı için altlıktan XRD sinyali alınmaktadır. Her iki borür fazının çok kristalli ve kristalografik olarak rast gele bir yönetime sahip olduğu farklı düzlemlerden elde edilen kırınım piklerinden anlaşılmaktadır. Her ne kadar Fe ve Cr metallerinin ikili faz diyagramları incelendiğinde yüksek sıcaklıkta birbirleri içerisinde tam katı eriyik oluştursa da düşük sıcaklıklarda bir faz ayrışması meydana gelmekte ve Fe-Cr合金 yüzeyinde birlama sonrası oluşan borür tabakanın yapısında CrB ve Fe<sub>2</sub>B fazlarının ayrı ayrı oluşmasına neden olmaktadır. 900 °C'de borlanan numunenin XRD spektrumunda 20-50° arası incelendiğinde az miktarda amorf yapının bulunduğu anlaşılmaktadır. Ayrıca 1000 °C'de numunenin yüzeyinde oluşan borür tabakanın yarısı aşındırılarak elde edilen XRD spektrumu da Şekil 1d'de verilmiştir. Bu numune için yapılan XRD analizinde kaplamadan önceki fazların değişmediği yani CrB ve Fe<sub>2</sub>B fazlarından meydana geldiği dolayısıyla borür tabakanın faz bileşimin kalınlık boyunca değişmediği anlaşılmıştır. Ayrıca bu合金 üzerine yapılan borür kaplamadan önceki düzleme doğru ilerledikçe, Fe合金ları için genelde literatürde raporlanan tercihli bir kristal yönelim olmadığı görülmektedir [12]-[14]. Bu da atomik olarak eşit miktarda Fe ve Cr içeren Fe-Cr合金ındaki Cr elementinin B elementi ile yapmış olduğu CrB bileşiginin, B elementinin borür tabakanın içeriğindeki tercihli olarak bazı kristal yönlerinde hızlı difüzyonunu ve dolayısıyla tercihli olarak belirli yönelimlerinde kristal büyümemesini engellemesinden kaynaklandığı düşünülmektedir. Dolayısıyla, bu iki borür fazı oluşturan Cr ve Fe elementleri az miktarda da olsa yer alan

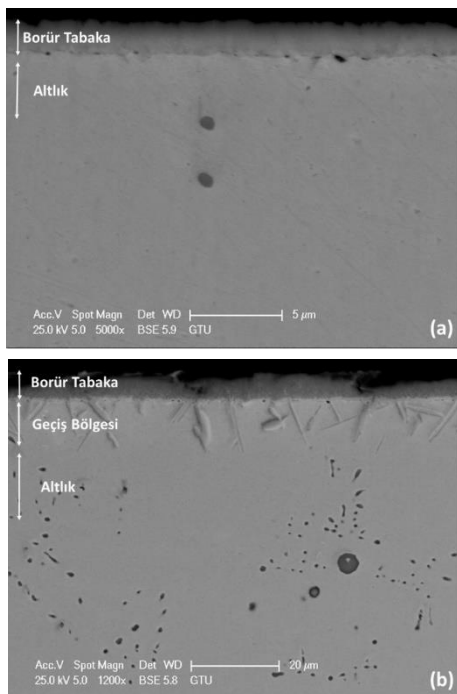
element olarak (Cr, Fe)B ve (Fe, Cr)B borür fazları içerisinde bulunmakta olduğu kanaati olmuştur.



Şekil 1: Farklı sıcaklıklarda 6 saat süre ile borlanmış Fe-Cr ikili合金ının yüzeyinden alınan XRD spektrumu; (a): 800 °C, (b): 900 °C, (c): 1000 °C ve (d): 1000 °C (aşındırılmış).

Şekil 2, 800-1000 °C'de borlanan Fe-Cr合金ının kesitlerinden alınan SEM mikrograflarını göstermektedir. 800 °C'de borlanan Fe-Cr合金 üzerine yapılan kaplamada borür tabakasının

kompakt bir yapıda olduğu ve bu borür tabakanın alıkh malzemeye çok iyi bağlandığı görülmektedir (Şekil 2a). Benzer şekilde  $900^{\circ}\text{C}$  ve  $1000^{\circ}\text{C}$ de borlanan Fe-Cr numunelerin borür tabakası da taraksı bir morfolojiye sahip değildir (Şekil 2b-c). Dolayısıyla literatürde belirtilen demir esaslı malzemelere ait taraksı yapı her üç sıcaklıkta borlanan Fe-Cr合金larında oluşmamıştır. Genelde合金 elementinin miktarına ve cinsine bağlı olarak bu taraksı yapının, V, Ti, Mo gibi bazı elementlerin demirdeki miktarına bağlı olarak Fe-M ( $M=V, Ti, Mo$ ) üzerinde oluşan borür tabakanın düzleştigi raporlanmıştır [3]-[5]. Ancak, Fe-Mn üzerine yapılan bir çalışmada ise taraksı morfolojinin değişmediği belirtilmiştir [2]. Demir içeresine krom ilave edilerek elde edilen合金ların borlanması sonucu ise yüzeyde oluşan taraksı yapı morfolojisinde çok yüksek oranlarda Cr içeren (%25'e kadar) alıkh larda kısmen bozulmuştur. Ancak bu çalışmada olduğu gibi çok yüksek oranda Cr içeren Fe-Cr合金ında taraksı yapı tamamen kaybolduğu görülmüştür (Şekil 2). Fe-Cr合金ının özellikle yüksek sıcaklıkta borlanması sonucu iğnemsi yapıların olduğu ana borür tabaka ile alıkh arasında bir geçiş olmuşmustur (Şekil 2b-c). Bu yapı literatürde raporlanan bu çalışmaya göre daha düşük oranda krom içeren Fe-Cr borlanması da rastlanmıştır [12]-[14]. Benzer şekilde Fe-Ti, Fe-Mo gibi合金ların borür tabakası altında bu geçiş bölgesinin olduğu raporlanmıştır [3],[4].

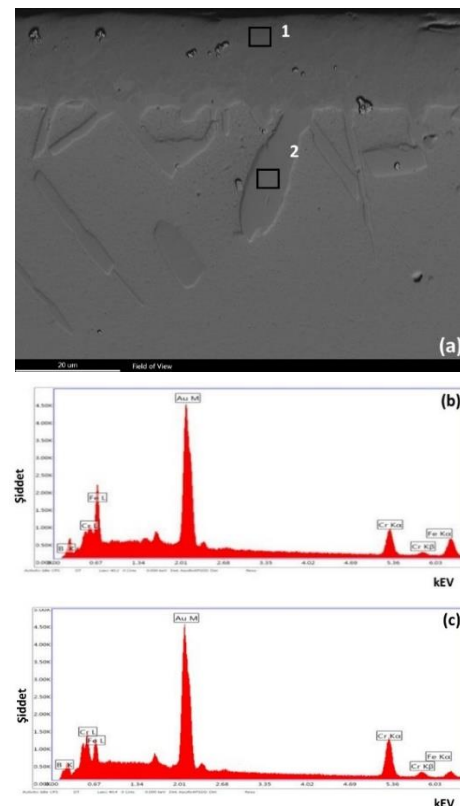


Şekil 2: Farklı sıcaklıklarda borlanan Fe-Cr合金ının kesitten alınan SEM görüntütleri; (a):  $800^{\circ}\text{C}$ , (b):  $900^{\circ}\text{C}$  ve (c):  $1000^{\circ}\text{C}$  (mikrosertlik izleri ile birlikte).

Fe-Cr合金ının  $1000^{\circ}\text{C}$  borlanması sonrasında elde edilen kaplamaların kesitten alınan tipik bir SEM görüntüsü ile birlikte borür tabakanın belirli bölgelerinden alınan SEM-EDS spektrumları Şekil 3'te verilmiştir.

Borür tabakanın yüzeye yakın bölgelerinden (1 numaralı) (Şekil 3b) ve metal alıkh'a yakın (2 numaralı) çökeltilerden (Şekil 3c) alınan SEM-EDS spektrumları incelemesinde her iki bölgenin kimyasal bileşimin Fe, Cr ve B elementlerinden olduğu anlaşılmaktadır. Ayrıca yüzeye kapunan altından dolayı bu

spektrumda bu elemente ait pik görülmektedir. SEM-EDS spektrumlarda 1 numaralı bölgede Fe elementine ait, 2 numaralı bölgede ise Cr elementine pik şiddetleri yüksek olduğu görülmektedir. Dolayısıyla, yukarıda belirtildiği gibi  $\text{Fe}_2\text{B}$  ve  $\text{CrB}$  fazlarını oluşturan Cr ve Fe elementleri az miktarda da olsa yer alan elementi olarak  $(\text{Cr}, \text{Fe})\text{B}$  ve  $(\text{Fe}, \text{Cr})_2\text{B}$  borür fazları içerisinde bulunmakta olduğu kanaatinin güçlendirilmektedir. 2 numaralı bölgede Cr elementine ait pik şiddetinin daha fazla olması ise oluşana iğnemsi çökeltilerin  $\text{CrB}$  ağırlıklı oluşan fazdan kaynaklandığı düşünülmektedir. Literatürde benzer bir çalışmada bu geçiş bölgesindeki çökeltilerin Cr ağırlıklı bir faz olduğu belirtilmiştir [16]. Ayrıca, diğer bazı Fe-M ( $M=Ti, Mo$ )合金larının borlanması sonucu oluşan çökeltilerin demir içeresindeki合金 elementinden kaynaklandığı raporlanmıştır [3], [4].

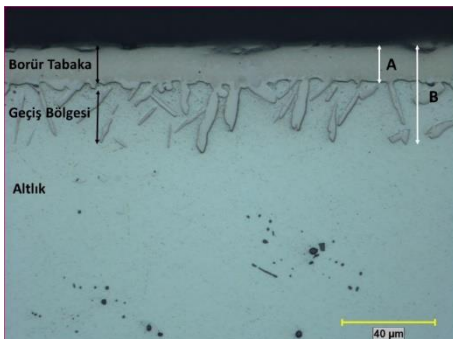


Şekil 3: Fe-Cr合金ının  $1000^{\circ}\text{C}$ de borlanan numunenin kesitten alınan SEM mikrografi ve belirli bölgelerin EDS spektrumu; (a): SEM mikrografi, (b): '1' ile işaretli bölgenin spektrumu, (c): '2' ile işaretli bölgenin SEM-EDS spektrumu.

Fe-Cr合金ının farklı sıcaklıklarda borlama sonucu oluşan kaplamaların ve kaplama ile alıkh arasında kalan geçiş bölgelerinin kalınlıkları ölçülmüştür. Şekil 4'te  $1000^{\circ}\text{C}$ de 6 saat borlanan numunenin kesitten alınan OM görüntüsünde kalınlık ölçümünde esas alınan kaplama ve geçiş bölgeleri gösterilmiş olup, bu gösterime göre elde edilen kaplama kalınlıkları Tablo 1'de verilmiştir.

Şekil 2'de kaplamaların SEM görüntüsünde de olduğu gibi (Şekil 2c) homojen kalınlıkta ve yoğun bir yapıda olduğu ve geçiş bölgesinde ise iğnemsi karakterde çökeltiler olduğu görülmektedir. Yoğun borür tabaka kalınlığının ve toplam borür tabaka kalınlığının borlama sıcaklığı ile arttığı görülmektedir (Tablo 1). Ancak,  $800^{\circ}\text{C}$  yapılan borlama işlemi sonrası geçiş bölgesinin ne OM ne de SEM tespit edilmediği

dolayısıyla geçiş bölgesin bu sıcaklıkta oluşmadığı kanaatine varılmıştır (Şekil 2a). Kaplama kalınlığı ve geçiş bölgesin oluşması, artan bortlama sıcaklığıyla birlikte bor atomunun hem bortür tabaka içerisinde ve hem de altlık metali içerisinde difüzyon hızı artmasından kaynaklandığı düşünülmüştür. Ancak altlık Fe-Cr合金 içerisinde bor atomunun çapının küçüğünden kaynaklı difüzyon hızının daha yüksek olmasından dolayı geçiş bölgesinin kalınlığı, bort tabaka kalınlığından daha fazladır, yani bor atomu altlık içerisinde daha uzun mesafelere kadar yayılmıştır.



Şekil 4: Fe-Cr合金 üzerinde oluşan bort tabakanın kalınlık ölçümünde alınan bögeler (1000 °C, 6 bortlanan numune).

Şekil 2'de kaplamanın SEM görüntüsünde de olduğu gibi (Şekil 2c) homojen kalınlıkta ve yoğun bir yapıda olduğu ve geçiş bölgesinde ise iğnemsi karakterde çökeltiler olduğu görülmektedir. Yoğun bort tabaka kalınlığının ve toplam bort tabaka kalınlığının bortlama sıcaklığı ile arttığı görülmektedir (Tablo 1). Ancak, 800 °C yapılan bortlama işlemi sonrası geçiş bölgesinin ne OM ne de SEM tespit edilmemiği dolayısıyla geçiş bölgesin bu sıcaklıkta oluşmadığı kanaatine varılmıştır (Şekil 2a). Kaplama kalınlığı ve geçiş bölgesin oluşması, artan bortlama sıcaklığıyla birlikte bor atomunun hem bortür tabaka içerisinde ve hem de altlık metali içerisinde difüzyon hızı artmasından kaynaklandığı düşünülmüştür. Ancak altlık Fe-Cr合金 içerisinde bor atomunun çapının küçüğünden kaynaklı difüzyon hızının daha yüksek olmasından dolayı geçiş bölgesinin kalınlığı, bort tabaka kalınlığından daha fazladır, yani bor atomu altlık içerisinde daha uzun mesafelere kadar yayılmıştır.

Tablo 1: Farklı sıcaklıklarda bortlanan Fe-Cr合金 üzerinde oluşan bort tabaka kalınlıkları (bkz Şekil 4) A Bölgesi: Yoğun bort tabaka, B Bölgesi: Yoğun bort tabaka+geçiş bölgesi.

Bortlama Sıcaklığı (°C)	A-Bölgesi Kalınlığı (μm)	B-Bölgesi Kalınlığı (μm)
800	1.60 ± 0.18	-
900	5.71 ± 1.40	16.14 ± 2.84
1000	16.88 ± 1.50	46.60 ± 5.04

1000 °C'de bortlanan Fe-Cr合金 numunenin bort tabakasından elde edilen tipik Vickers mikrosertlik izleri ve tipik mikrosertlik değerleri Şekil 2c'de verilmiştir. Fe-Cr altlık için mikrosertlik değeri 170 HV olarak ölçülmüşse rağmen, bort tabakanın mikrosertlik değerleri yaklaşık olarak 2650 HV ile 3240 HV arasında değiştiği belirlenmiştir. Bu değişim bort tabakayı oluşturan fazlardan kaynaklandığı düşünülmektedir. Zira Fe2B'nin tipik mikrosertlik değeri 1800-2000 HV civarındadır. Dolayısıyla yukarıda belirtildiği gibi  $(Cr, Fe)_B$  ve  $(Fe, Cr)_2B$  bort fazlarının olduğu bölgede mikrosertlik göreceli olarak

yüksek olduğu anlaşılmaktadır. Diğer sıcaklıklarda elde edilen bort tabakası kalınlığı sertlik ölçümü için tutarlı sonuç vermediğinden dolayı bu çalışmada raporlanmamıştır. Ancak XRD, SEM, SEM-EDS sonuçları göz önüne alındığında 800 °C ve 900 °C'de bortlanan Fe-Cr合金合金ının bort tabaksının da benzer sertlik değerine sahip olduğu düşünülmektedir.

#### 4 Genel sonuçlar

1. Farklı sıcaklıklarda 50Fe-50Co yüzeyinde oluşan bort tabakanın  $Fe_2B$  ve  $CrB$  fazlarından oluşan tespit edilmiştir,
2. Oluşan bort tabaka düz bir morfoloji de olup sıcaklığın artmasıyla  $CrB$  fazının ağırlıklı bulunduğu iğnemsi çökeltilerden oluşan bir geçiş bölgesi oluşmuş ve sıcaklığın artmasıyla bu çökeltilerin miktarı artmıştır,
3. Bort tabaka sertliğinin, 2650 HV ile 3240 HV arasında değiştiği belirlenmiştir,
4. Bortlama sıcaklığı ile yoğun bort tabaka kalınlığı artmıştır.

#### 5 Teşekkür

Bu makalenin hazırlanmasındaki katkılarından dolayı Z. Çağatay Öter, Sezgin Cengiz ve Yunuz Azaklı'ya teşekkür ederiz.

#### 6 Kaynaklar

- [1] Sinha AK. "Boriding (Boronizing)". *ASM Handbook*, 417, 1991.
- [2] Gencer Y. "Influence of manganese on pack boriding behaviour of pure iron". *Surface Engineering*, 27(8), 634-638, 2011.
- [3] Gencer Y, Tarakci M, Calik A. "Effect of titanium on the boronizing behaviour of pure iron". *Surface & Coatings Technology*, 203(1-2), 9-14, 2008.
- [4] Azakli Y, Cengiz S, Tarakci M, Gencer Y. "Characterisation of boride layer formed on Fe-Mo binary Alloys". *Surface Engineering*, 32(8), 589-595, 2016.
- [5] Gunduz KO, Gencer Y, Tarakci M, Calik A. "The effect of vanadium on the boronizing properties of pure iron". *Surface & Coatings Technology*, 221, 104-110, 2013.
- [6] Azakli Y, Tarakci M. "Microstructural characterisation of borided binary Fe-W alloys". *Surface Engineering*, doi:10.1080/02670844.2016.1263712.
- [7] Ozbek I, Bindal C. "Kinetics of borided AISI M2 high speed steel". *Vacuum*, 86(4), 391-397, 2011.
- [8] Gunes I, Ulker S, Taktak S. "Plasma paste boronizing of AISI 8620, 52100 and 440C steels". *Materials & Design*, 32(4), 2380-2386, 2011.
- [9] Tarakci M, Gencer Y, Azakli Y, Sahinturk, U. "Surface modification of Fe-8Si alloy by boronizing and its characterization". *Journal of the Faculty of Engineering and Architecture of Gazi University*, 28(3), 645-655, 2013.
- [10] Brakman CM, Gommers AWJ, Mittemeijer EJ. "Boriding of Fe and Fe-C, Fe-Cr, and Fe-Ni alloys; boride-layer growth Kinetics". *Journal of Materials Research*, 4(6), 1354-1370, 1989.
- [11] Carbucicchio M, Palombarini G. "Effects of alloying elements on the growth of iron boride coatings". *Journal of Materials Science Letters*, 6(10), 1147-1149, 1987.

- [12] Dybkov VI, Sidorko VR, Khoruzha VG, Samelyuk AV, Goncharuk LV. "Interaction of 25% chromium steel with boron powder". *Powder Metallurgy and Metal Ceramics*, 50(7-8), 564-571, 2011.
- [13] Dybkov VI, Goncharuk LV, Khoruzha VG, Samelyuk AV, Sidorko VR. "Growth kinetics and abrasive wear resistance of boride layers on Fe-15Cr alloy". *Materials Science and Technology*, 27(10), 1502-1512, 2011.
- [14] Dybkov VI. "Thermochemical Boriding of Fe-5% Cr Alloy". *Powder Metallurgy and Metal Ceramics*, 54(11-12), 652-664, 2016.
- [15] Dybkov VI, Sidorko VR, Goncharuk LV, Khoruzha VG, Samelyuk AV. "Microstructure, growth kinetics, and abrasive wear resistance of boride layers on fe-30% cr alloy". *Powder Metallurgy and Metal Ceramics*, 51(9-10), 518-530, 2013.
- [16] Dybkov VI, Lengauer W, Gas P. "Formation of Boride Layers at the Fe-25% Cr Alloy-Boron Interface". *Journal of Materials Science*, 41(15), 4948-4960, 2006.